

カーボンブラック充填ポリプロピレン/ポリエチレンポリマーブレンド の電気抵抗率に及ぼす表面処理の影響*

永田謙二** 尹 昊圭*** 稲葉光治**** 高橋清久**

Effects of Surface Treatment of Carbon Black on Electrical Resistivity of Carbon Black Filled Polypropylene/Polyethylene Polymer Blend
by

Kenji NAGATA,

(Department of Materials Science and Engineering, Nagoya Institute of Technology, Showa-ku, Nagoya)

Ho-Gyu YOON,

(Division of Materials Science and Engineering, Korea University, Seoul, Korea)

Mitsuharu INABA

(Graduate Student, Nagoya Institute of Technology, Showa-ku, Nagoya)

and Kiyohisa TAKAHASHI

(Department of Materials Science and Engineering, Nagoya Institute of Technology, Showa-ku, Nagoya)

The effect of surface treatment of carbon black (CB) particles on the electrical conductivity of CB filled polymer is investigated in relation to the blending of matrix polymers. High density polyethylene (PE), polypropylene (PP), and the PP/PE polymer blend (weight ratio of PP/PE=40/60) are used as the matrix polymers. Silane coupling agents ; *n*-propyltrimethoxysilane (PS) and γ -aminopropyltrimethoxysilane (APS), are used for the surface treatment of CB particles. The following results are obtained from the electrical resistivity measurement of the composite : The percolation threshold ; the CB content at which the electrical resistivity of composite begins to decrease drastically, lowers by the blending of matrix polymers ; PP and PE. The percolation threshold of composite lowers by the surface treatment of CB with APS. The transmission electron microscopy (TEM) of the composites also shows the following results : CB particles in the PP/PE matrix preferentially dispersed in the PE phase. With increasing of the CB content, the PP phase which does not contain CB changes from continuous (the composite is insulating) to disperse (conductive).The threshold of CB content depends on the surface treatment of CB particles. The percolation threshold=1.5 phr is attained by the APS treatment of CB in the PP/PE and PE composites.

(Received June 30, 2003)

キー・ワード：カーボンブラック，ポリプロピレン，ポリエチレン，表面処理，電気抵抗率

Key Words : Carbon Black, Polypropylene, Polyethylene, Surface Treatment, Electrical Resistivity

1 緒言

ポリエチレン（以下 PE と略す）やポリプロピレン（PP）等の電気絶縁性高分子材料にカーボン等の導電性フィラーを充填した複合材料は、高分子材料のもつ優れた成形加工性や機械的特性に、導電性機能を付与した導電性高分子複合材料として注目され、IC 保

護材などの静電障害防止材、電磁波シールド材等への応用が期待されている。この複合材料の電気伝導度は、導電性フィラーを充填することにより絶縁領域から導電領域まで幅広く変化する。また、導電性フィラーの充填量がある値（パーコレーションしきい値）を超えると転移的に上昇する現象、すなわちパーコレーション現象が見られる^{1)~7)}。これら導電性高分子複合材料の電気特性は、導電性フィラーの充填量²⁾、導電性フィラーの構造とサイズ^{3),4)}、分散状態^{5),6)}、導電性フィラーとマトリックス高分子との親和性²⁾等に大きく影響を受ける。

筆者らは、カーボンブラック粒子（CB）とマトリッ

* 原稿受理 平成15年6月30日

** 名古屋工業大学大学院工学研究科物質工学専攻 名古屋市昭和区御器所町

*** 高麗大学校工科大学材料工学部 大韓民国ソウル特別市城北区安岩洞

**** 名古屋工業大学大学院工学研究科（院生）名古屋市昭和区御器所町

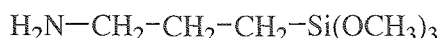
クス高分子との親和性（濡れ性、接着性）に及ぼすマトリックス改質の影響に焦点を絞り、CBの分散性とCB充填PE及びPP複合材料の電気抵抗率との関係を検討してきた^{8),9)}。その結果、マトリックス改質として無水マレイン酸(MAH)変性PEあるいはMAH変性PPを添加することにより、CB粒子は微分散し、少ないCB充填量でも導電性網目を形成し、さらに電気抵抗率のばらつきを小さくできることを明らかにした。また導電性高分子複合材料の電気特性は、マトリックス高分子がポリマーブレンドの場合、マトリックス高分子のモルホロジー、マトリックス中における導電性フィラーの分散状態、及び成形条件等に大きく影響を受ける。CB充填PP/PEポリマーブレンドでは、CBはPE相に偏在すること^{6),7)}が知られており、その偏在は複合材料の電気抵抗率に大きく影響を与えることが報告されている。

本報告ではCBとマトリックス高分子との親和性向上の手法として、前報のマトリックス改質^{8),9)}とは異なり、導電性フィラーの表面改質に着目し、CB充填複合材料の電気抵抗率に及ぼすCB表面処理の影響について検討する。特に、マトリックス高分子をPP/PEポリマーブレンドとした場合の効果についても併せて検討する。

2 実験

2・1 原材料

マトリックス高分子として高密度ポリエチレン(PE、三井化学㈱, 2100J, メルトフローレート $MFR = 6\text{ g}/10\text{min}$ (測定条件: 190°C , ASTM D1238), 密度 0.956 g/cm^3 , 融点 $T_m = 127^\circ\text{C}$), 及びポリプロピレン(PP、チッソ㈱, K1008, $MFR = 11\text{ g}/10\text{min}$ (測定条件: 230°C , JIS K6758), 密度 0.90 g/cm^3 , $T_m = 165^\circ\text{C}$)を用いた。導電性フィラーとしてカーボンブラック(CB、東海カーボン㈱, シースト300HAF-LS, 平均粒子径28nm)を用いた。CBの表面処理剤として γ -アミノプロピルトリメトキシラン(APS、信越化学工業㈱)とAPSと有機官能基部分だけが異なる n -プロピルトリメトキシラン(PS、東京化成工業㈱)を用いた。これらの構造式をScheme 1に示す。



γ -Aminopropyltrimethoxysilane(APS)



n -Propyltrimethoxysilane(PS)

Scheme 1 Silane coupling agents used in this study.

2・2 表面処理方法

蒸留水にAPSまたはPSを添加して2wt%水溶液

(100g)を調製し、室温で30分間加水分解を行った。この水溶液にCB(10g)を加え、超音波処理しながら10分間攪拌しCBの表面処理を行った。水溶液を吸引ろ過後、CBを 100°C のオーブン中で2時間乾燥及びキュアした。さらに物理的吸着分を除くために10分間メタノールで洗浄して再び吸引ろ過し、 100°C の真空オーブン中で24時間乾燥した。

2・3 試料作製方法

PP/PEのブレンド割合は、CB未充填ブレンドでPE相が連続相を形成するブレンド割合(重量比)、PP/PE=40/60に設定した。CBの充填量は、マトリックス高分子(PP, PEまたはPP/PE)100gに対して4~12g(phr; parts per 100parts of resin)とした。

PP, PE及びCBを所定の割合で混合し、同方向回転噸合型2軸押出機(㈱テクノベル, KZW15-30MG, L/D=30)を用いて 190°C で溶融混練を行い、塊状試料を作製した。得られた塊状試料を 200°C の熱プレス機で10分間溶融後、2.2MPaで1分間加圧し、続いて試料を水冷プレス機に移し1.0MPaで10分間通水冷却し、シート状試料を作製した。

2・4 電気抵抗率測定

得られたシート(厚さ: 約0.25mm)から直径約50mmの円盤を切り出し、電極との良好な電気的接触を得るために、その両面に導電性銀ペーストを塗布した。また、主電極の外周にガード電極を設置することにより、測定試料表面を流れる漏れ電流の影響を除いた。電気抵抗率(体積抵抗率) $\rho(\Omega\text{cm})$ は、デジタル超高速抵抗/微少電流計(㈱アドバンテスト, R8340A)を用いて体積抵抗 $R(\Omega)$ を測定し、(1)式より算出した。

$$\rho = R \frac{A}{t} \quad (\Omega \text{ cm}) \quad (1)$$

ここで A 及び t はそれぞれ主電極係数(主電極面積: 3.14 cm^2)及び試料の厚さ(cm)である。

2・5 電子顕微鏡観察

各試料から約80nmの超薄切片を低温ミクロトーム(㈱ライカ, 調製温度: -120°C)で切り出し、四酸化ルテニウムで染色後、透過型電子顕微鏡(TEM、日本電子㈱, JEM-1010)を用いて観察した。加速電圧は100kVとした。

3 結果

3・1 電気抵抗率に及ぼすポリマーブレンドの影響

未処理CBをPE, PP及びPP/PE(重量比40/60)ポリマーブレンドに充填した試料の室温における電気抵抗率をFig. 1に示す。各電気抵抗率は5~6本の試料の平均値をデータとして用いた。CB充填PE(▽)及びPP(●)の電気抵抗率は、CBの充填量8~10phrで急激に低下(パーコレート)している。この結果は、CB充填量8phr付近でCBの導電性網目が形成される

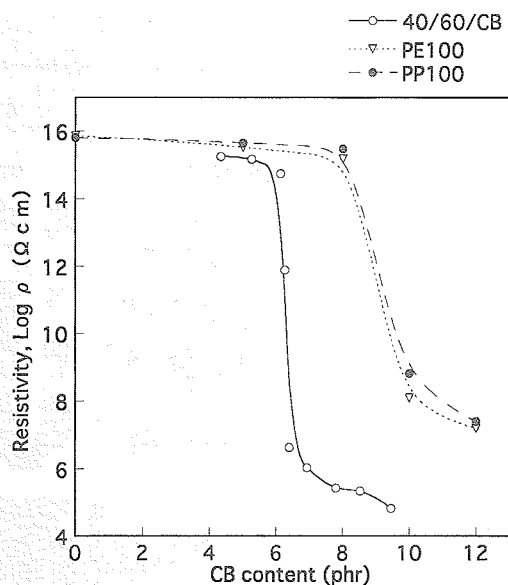


Fig. 1 Dependence of resistivity ρ of CB-filled composites on the non-treated CB content. Weight ratio of PP/PE was fixed at 40/60.

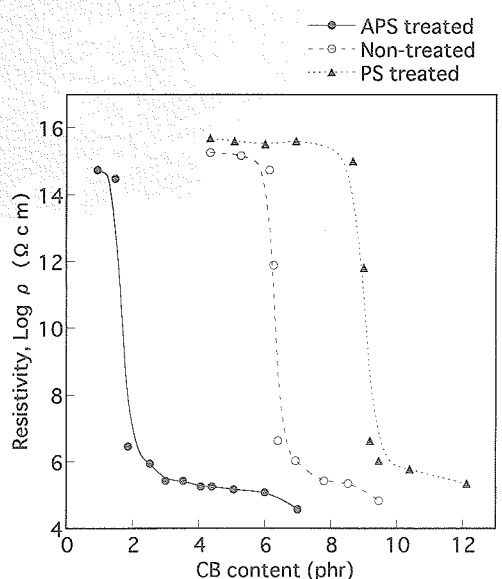


Fig. 3 Dependence of resistivity ρ of CB-filled PP/PE blends on the surface-treated CB content. Weight ratio of PP/PE was fixed at 40/60.

ことを示している。一方、マトリックス高分子を PP/PE ポリマーブレンドとした CB 充填 PP/PE ポリマーブレンド (○) の電気抵抗率は、CB 充填量 6 phr 附近でパーコレートしている。

これら試料内部の CB 粒子の分散状態を TEM 観察で検討した。CB 充填 PE, PP 及び PP/PE ポリマーブレンド (重量比 PP/PE=40/60) の TEM 写真を Fig. 2 に示す。CB 充填量は 10phr である。ただし、PP/PE ポリマーブレンドの場合、電気抵抗率測定後、熱重量損失 (TGA) から求めた CB 充填量は 9.5phr であった。CB 充填 PE 及び PP 複合材料 (Figs. 2(a), 2(b)) における CB は、マトリックス中で均一に分散しているこ

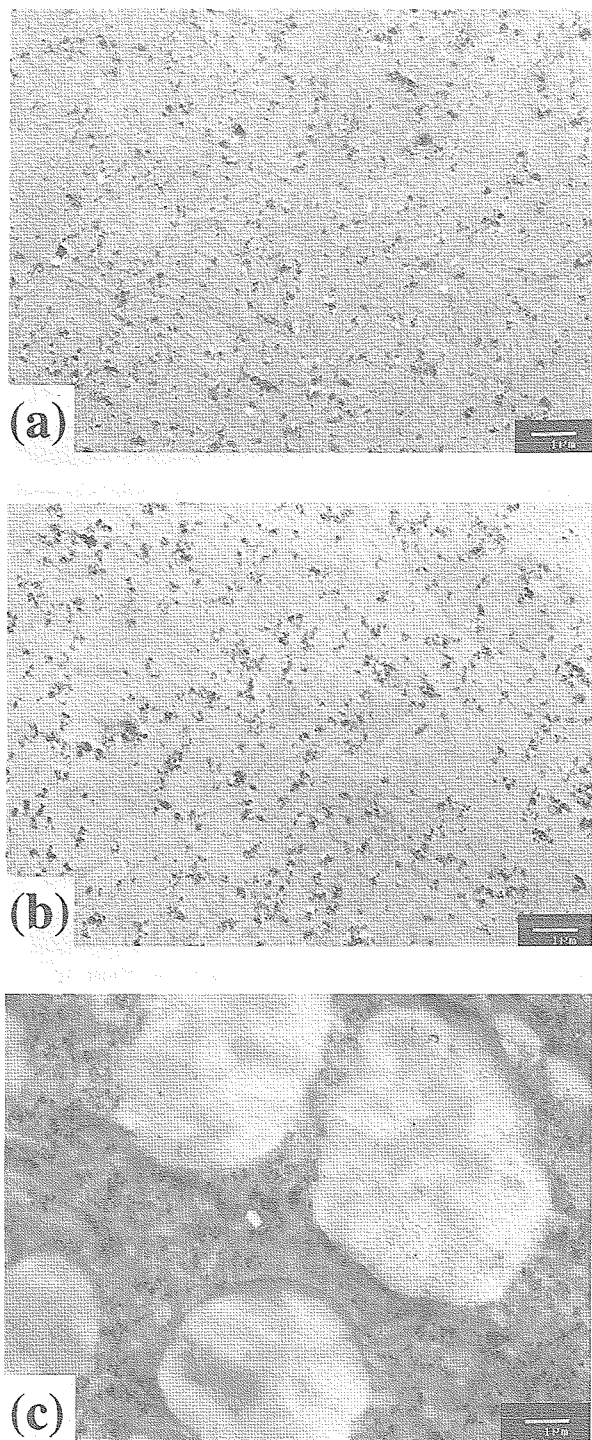


Fig. 2 Transmission electron micrographs of 10 phr CB-filled composites which are all semi-conductive. Matrix resin is (a) PE, (b) PP or (c) PP/PE blend (weight ratio of PP/PE=40/60). PP/PE blend was obtained by simultaneous blending.

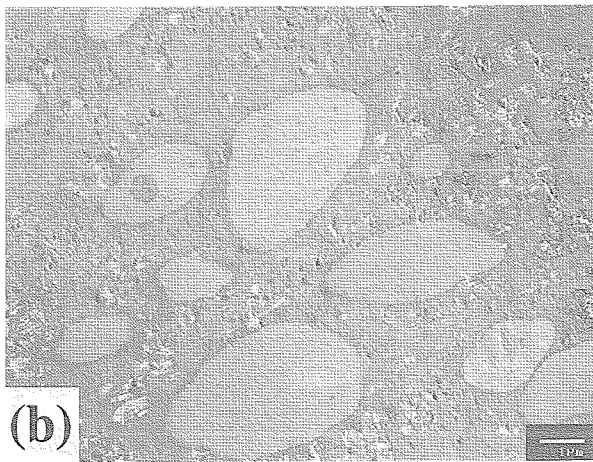
とが観察される。一方、CB 充填 PP/PE ポリマーブレンド (Fig. 2(c)) では、CB が PE 相中に偏在し、有効な導電性網目を形成している構造が観察される。パーコレートする前の 6 phr 付近の組織観察は現在検討中である。

3・2 電気抵抗率に及ぼす CB 表面処理の影響

CB 充填 PP/PE ポリマーブレンドの電気抵抗率に及



(a)

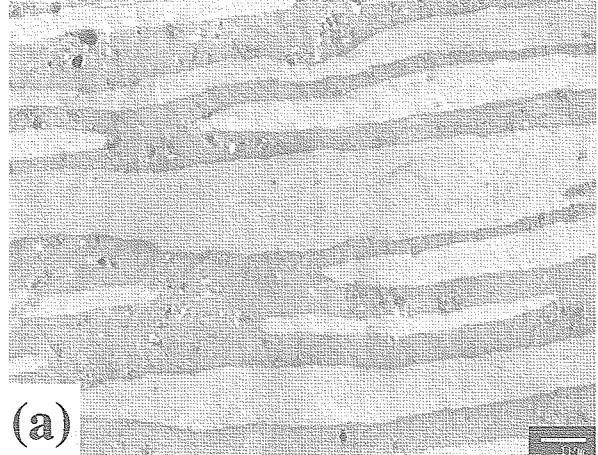


(b)

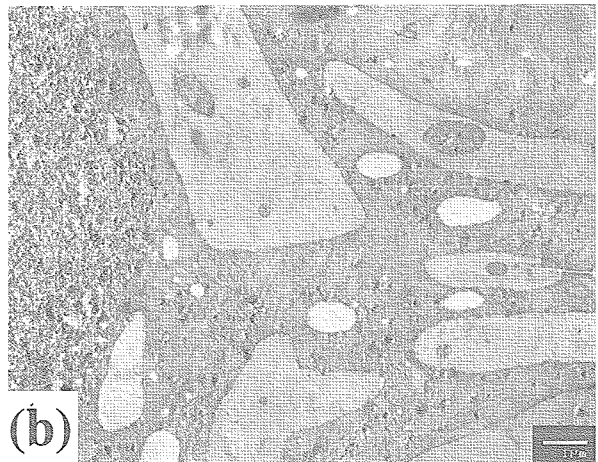
Fig. 4 Transmission electron micrographs of PP/PE blends filled with the non-treated CB. CB content is (a) 5phr (insulating) or (b) 9phr (semi-conductive), respectively. Weight ratio of PP/PE was fixed at 40/60.

ばすCB表面処理の影響をFig.3に示す。未処理CB充填PP/PEポリマーブレンドの電気抵抗率(○)はCBの充填量が多くなるに従い低下し、パーコレーションしきい値は約6phrであった。PP/PEポリマーブレンド(重量比40/60)中でPE相は連続相であり、CB粒子は充填量6phr付近でPE相内において導電性網目を形成し始めたと考えられる。Fig.3で未処理CB充填PP/PEポリマーブレンド(○)が絶縁性を示したCB充填量5phr(Fig.4(a))と、導電性を示したCB充填量9phr(Fig.4(b))のTEM観察を行った。CBはPE相(海)に偏在していることが観察される。CBがPE相に偏在するのは、CB/PEの界面エネルギーがCB/PPより低いことに起因すると報告されている⁷⁾。また、Fig.4(a)におけるPP相(島)が細長い帯状になり絶縁帯を形成したため、未処理CB5phr充填試料は絶縁性(電気抵抗率約 $10^{15}\Omega\text{cm}$)を示したと考えられる。

またFig.3で、シランカップリング剤処理CBを充填したPP/PEポリマーブレンド(●及び▲)は、未処理CB充填系と同様、CB充填量の増加と共に電気抵抗率が低下している。しかしパーコレーションしき



(a)



(b)

Fig. 5 Transmission electron micrographs of PP/PE blends filled with the PS-treated CB. CB content is (a) 7 phr (insulating) or (b) 10phr (semi-conductive), respectively. Weight ratio of PP/PE was fixed at 40/60.

い値は、PS処理CB充填系(▲)で約9phrであるのに対し、APS処理CB充填系(●)では約1.5phrである。PS処理CB充填PP/PEポリマーブレンド(▲)の結果は、PSの有機官能基がプロピル基で極性をもたないため、CBの分散性は向上するが、CB同士の導電性網目の形成には有効でないことを示唆している。PS処理CB充填PP/PEポリマーブレンドのTEM観察をFig.5に示す。Fig.5(a)はPS処理CB7phr充填試料(絶縁性)、Fig.5(b)はPS処理CB10phr充填試料(半導性)である。CBはPE相内である程度の凝集体を形成しており、CBの充填量が多くなる(Fig.5(b))と、PE相内でCBの導電性網目が形成される。Figs.5で注目すべき点は、未処理CB充填系(Fig.4(a))でも観察された細長い帯状のPP相(色の薄い部分)が観察されることである。このPP相が、導電性PE連続相を分断するため、パーコレーションしきい値が高くなつたことが考えられる。

一方、Fig.3でAPS処理CB充填PP/PEポリマーブレンド(●)のパーコレーションしきい値は約1.5phrと未処理(○)と比べて大きく低下している。これは、



Fig. 6 Transmission electron micrograph of a PP/PE blend filled with 5 phr of the APS-treated CB (semi-conductive). Weight ratio of PP/PE was fixed at 40/60.

有機官能基部分がアミノプロピル基であるAPSでの処理は、PP/PEポリマーブレンド中でCB粒子がより少ない充填量で導電性網目を形成することを示唆している。APSの無機官能基がCBと結合し、一方APSの有機官能基（アミノ基）が他のCB（またはCBと結合したAPS）とも結合する可能性がある。このため、少ないCB充填量でも導電性網目を形成したと考えられる。APS処理CB 5 phr充填試料のTEM写真をFig. 6に示す。未処理CB充填系（Fig. 4(a)）あるいはPS処理CB充填系（Fig. 5(a)）と同様、細長い帯状のPP相が観察されるが、CB粒子はPE相（海）内だけでなくPP相（細長い帯状部分）内にも分散している。CB粒子がPP相内にも分散したのは、APS処理によりCBの表面張力が低下し、CB/PPの界面エネルギーがCB/PEに近づいたためと考えられる⁷⁾。PE相だけでなくPP相内にも導電性網目を形成したことにより、パーコレーションしきい値が著しく低下したと考えられる。

3・3 電気抵抗率に及ぼすマトリックス高分子の影響

前節まではCB充填高分子複合材料において、マトリックスをPP/PEポリマーブレンドとすること、及びCBをAPSで表面処理することにより、パーコレーションしきい値が低くなることを明らかにした。本節では、APS処理CBを充填した高分子複合材料の電気抵抗率に及ぼすマトリックス高分子の影響について検討する。Fig. 7にAPS処理CB充填PP/PEポリマーブレンド（●）とAPS処理CB充填PE（▽）の電気抵抗率測定の結果を示す。CB充填量と電気抵抗率の関係にマトリックスの影響は表れず、パーコレーションしきい値は両系共に約1.5phrであった。当初期待した、マトリックス高分子をポリマーブレンドにすることにより電気抵抗率及びパーコレーションしきい値が低くなる効果はAPS処理系では得られなかった。

そこで、APS処理CBを5 phr充填したPEのTEM

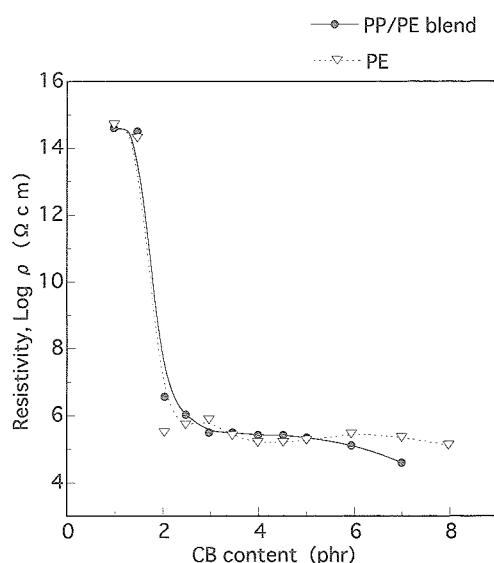


Fig. 7 Dependence of resistivity ρ of CB-filled PP/PE blends and PE composites on the APS-treated CB content. Weight ratio of PP/PE was fixed at 40/60.

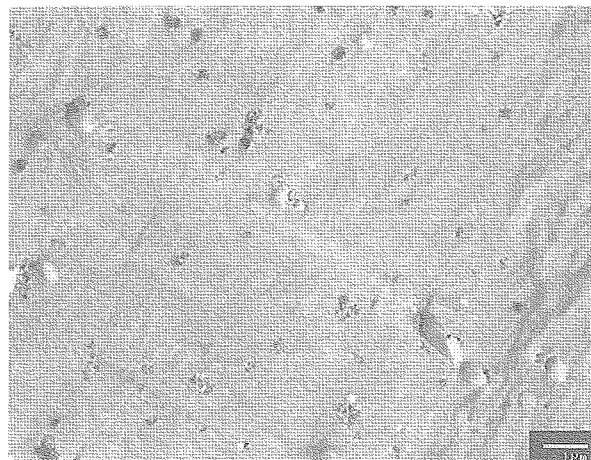


Fig. 8 Transmission electron micrograph of a PE composite filled with 5 phr of the APS-treated CB (semi-conductive).

観察（Fig. 8）を行い、APS処理CB充填PP/PEポリマーブレンド（Fig. 6）と比較した。Fig. 8より、APS処理CB粒子は、PE相内で均一に分散しているのが観察される。一方Fig. 6右上部分では、APS処理CB粒子が部分的に凝集して塊状になっている様子が観察される。CB粒子の局部的凝集は均一な導電性網目の形成には不利であり、このため電気抵抗率が期待した程低下しなかったと考えられる。

4 結 言

ポリエチレン（PE）またはポリプロピレン（PP）単体にカーボンブラック（CB）を充填した複合材料では、CB充填量約10phr (parts per 100parts of resin) で電気抵抗率が $10^{15}\Omega\text{cm}$ 程度から $10^8\Omega\text{cm}$ 程度に急激に低下（パーコレート）する。本研究では電気抵抗が急激に低下するCB充填量（パーコレーションしきい

値)を低下させることを目的とした。

まず、マトリックスとしてPP/PEポリマーブレンドを用いることにより、パーコレーションしきい値は6phr付近に低下した。さらにCBを γ -アミノプロピルトリメトキシラン(APS)で表面処理することにより、パーコレーションしきい値は1.5phrと大幅な低下を達成した。ただし、APS処理CBを用いた場合、マトリックスがPP/PEポリマーブレンドでもPE単体でもパーコレーションしきい値にほとんど差は表れなかった。その理由としてPP/PEブレンド中におけるCB粒子の凝集が考えられる。今後APS処理CB粒子の分散性改善により、CB充填PP/PEポリマーブレンドのパーコレーションしきい値は1.5phrよりもさらに低下することが期待される。ポリマーブレンドと表面処理との併用の効果については今後の検討課題である。

謝 辞

本研究は、名古屋工業大学大学院ベンチャー・ビジネス・ラボラトリーの外国人研究員特別招聘計画の援助を受けた。また電子顕微鏡観察は、三菱化学㈱ポリマー加工研究所青木雄二氏に依頼した。ご協力に深く

感謝の意を表する。

参考文献

- 1) Bueche, F., J. Appl. Phys., 44, (1973), 532.
- 2) Miyasaka, K., Watanabe, K., Jojima, E., Aida, H., Sumita, M. and Ishikawa, K., J. Mater. Sci., 17, (1982), 1610.
- 3) 住田雅夫, 城島栄一郎, 相田広巳, 宮坂啓象, 右川欣造, 高分子論文集, 40, (1983), 203.
- 4) Carmona, F., Barreau, F., Delheas, P. and Canet, R., J. Phys. Lett., 41, (1980), 531.
- 5) Flandin, L., Prasse, T., Schueler, R., Schulte, K., Bauhofer, W. and Cavaille J.-Y., Phys. Rev. B, 59, (1999), 14349.
- 6) 住田雅夫, 表面, 31, (1993), 48.
- 7) Sumita, M., Sakata, K., Asai, S., Miyasaka, K. and Nakagawa, H., Polym. Bull., 25, (1991), 265.
- 8) 永田謙二, 上田益宏, 久村崇久, 高橋清久, 材料システム, 19, (2000), 57.
- 9) 永田謙二, 高橋清久, 峰直樹, 稲葉光治, 鈴木直子, 材料システム, 21, (2003), 55.